

Starkniederschlagshöhen und -spenden gemäß KOSTRA-DWD-2020

Rasterfeld 181168

(Zeile 181, Spalte 168)

Regenspende und Bemessungsniederschlagswerte in Abhängigkeit von Wiederkehrzeit T und Dauerstufe D

| Dauerstufe D | | Wiederkehrzeit T | | | | | | | | | | | | | | | | | |
|--------------|-----|------------------|------------|------|------------|------|------------|------|------------|-------|------------|-------|------------|-------|------------|-------|------------|-------|------------|
| | | 1 a | | 2 a | | 3 a | | 5 a | | 10 a | | 20 a | | 30 a | | 50 a | | 100 a | |
| min | Std | mm | l / (s ha) | mm | l / (s ha) | mm | l / (s ha) | mm | l / (s ha) | mm | l / (s ha) | mm | l / (s ha) | mm | l / (s ha) | mm | l / (s ha) | mm | l / (s ha) |
| 5 | | 7,4 | 246,7 | 9,0 | 300,0 | 10,0 | 333,3 | 11,4 | 380,0 | 13,3 | 443,3 | 15,3 | 510,0 | 16,6 | 553,3 | 18,3 | 610,0 | 20,7 | 690,0 |
| 10 | | 9,7 | 161,7 | 11,9 | 198,3 | 13,2 | 220,0 | 15,0 | 250,0 | 17,6 | 293,3 | 20,2 | 336,7 | 21,9 | 365,0 | 24,2 | 403,3 | 27,4 | 456,7 |
| 15 | | 11,2 | 124,4 | 13,7 | 152,2 | 15,2 | 168,9 | 17,2 | 191,1 | 20,2 | 224,4 | 23,2 | 257,8 | 25,2 | 280,0 | 27,7 | 307,8 | 31,4 | 348,9 |
| 20 | | 12,2 | 101,7 | 15,0 | 125,0 | 16,6 | 138,3 | 18,9 | 157,5 | 22,1 | 184,2 | 25,4 | 211,7 | 27,5 | 229,2 | 30,4 | 253,3 | 34,4 | 286,7 |
| 30 | | 13,8 | 76,7 | 16,8 | 93,3 | 18,8 | 104,4 | 21,3 | 118,3 | 24,9 | 138,3 | 28,6 | 158,9 | 31,0 | 172,2 | 34,2 | 190,0 | 38,8 | 215,6 |
| 45 | | 15,4 | 57,0 | 18,8 | 69,6 | 21,0 | 77,8 | 23,8 | 88,1 | 27,8 | 103,0 | 32,0 | 118,5 | 34,7 | 128,5 | 38,3 | 141,9 | 43,4 | 160,7 |
| 60 | 1 | 16,6 | 46,1 | 20,3 | 56,4 | 22,6 | 62,8 | 25,7 | 71,4 | 30,0 | 83,3 | 34,5 | 95,8 | 37,4 | 103,9 | 41,3 | 114,7 | 46,8 | 130,0 |
| 90 | 1,5 | 18,5 | 34,3 | 22,6 | 41,9 | 25,1 | 46,5 | 28,5 | 52,8 | 33,3 | 61,7 | 38,3 | 70,9 | 41,6 | 77,0 | 45,9 | 85,0 | 52,0 | 96,3 |
| 120 | 2 | 19,8 | 27,5 | 24,3 | 33,8 | 27,0 | 37,5 | 30,6 | 42,5 | 35,8 | 49,7 | 41,2 | 57,2 | 44,7 | 62,1 | 49,3 | 68,5 | 55,9 | 77,6 |
| 180 | 3 | 22,0 | 20,4 | 26,9 | 24,9 | 29,9 | 27,7 | 33,9 | 31,4 | 39,6 | 36,7 | 45,6 | 42,2 | 49,5 | 45,8 | 54,5 | 50,5 | 61,8 | 57,2 |
| 240 | 4 | 23,6 | 16,4 | 28,8 | 20,0 | 32,1 | 22,3 | 36,4 | 25,3 | 42,5 | 29,5 | 48,9 | 34,0 | 53,1 | 36,9 | 58,5 | 40,6 | 66,4 | 46,1 |
| 360 | 6 | 26,0 | 12,0 | 31,8 | 14,7 | 35,4 | 16,4 | 40,1 | 18,6 | 47,0 | 21,8 | 54,0 | 25,0 | 58,6 | 27,1 | 64,6 | 29,9 | 73,2 | 33,9 |
| 540 | 9 | 28,7 | 8,9 | 35,1 | 10,8 | 39,1 | 12,1 | 44,3 | 13,7 | 51,8 | 16,0 | 59,5 | 18,4 | 64,6 | 19,9 | 71,3 | 22,0 | 80,8 | 24,9 |
| 720 | 12 | 30,7 | 7,1 | 37,6 | 8,7 | 41,9 | 9,7 | 47,5 | 11,0 | 55,5 | 12,8 | 63,8 | 14,8 | 69,3 | 16,0 | 76,4 | 17,7 | 86,6 | 20,0 |
| 1080 | 18 | 33,9 | 5,2 | 41,5 | 6,4 | 46,2 | 7,1 | 52,3 | 8,1 | 61,2 | 9,4 | 70,4 | 10,9 | 76,4 | 11,8 | 84,2 | 13,0 | 95,5 | 14,7 |
| 1440 | 24 | 36,3 | 4,2 | 44,4 | 5,1 | 49,5 | 5,7 | 56,1 | 6,5 | 65,6 | 7,6 | 75,4 | 8,7 | 81,8 | 9,5 | 90,2 | 10,4 | 102,3 | 11,8 |
| 2880 | 48 | 42,9 | 2,5 | 52,5 | 3,0 | 58,4 | 3,4 | 66,2 | 3,8 | 77,4 | 4,5 | 89,0 | 5,2 | 96,6 | 5,6 | 106,5 | 6,2 | 120,7 | 7,0 |
| 4320 | 72 | 47,2 | 1,8 | 57,8 | 2,2 | 64,3 | 2,5 | 72,9 | 2,8 | 85,3 | 3,3 | 98,1 | 3,8 | 106,4 | 4,1 | 117,4 | 4,5 | 133,0 | 5,1 |
| 5760 | 96 | 50,6 | 1,5 | 61,9 | 1,8 | 68,9 | 2,0 | 78,1 | 2,3 | 91,4 | 2,6 | 105,0 | 3,0 | 114,0 | 3,3 | 125,7 | 3,6 | 142,5 | 4,1 |
| 7200 | 120 | 53,4 | 1,2 | 65,3 | 1,5 | 72,7 | 1,7 | 82,4 | 1,9 | 96,4 | 2,2 | 110,8 | 2,6 | 120,2 | 2,8 | 132,6 | 3,1 | 150,3 | 3,5 |
| 8640 | 144 | 55,8 | 1,1 | 68,2 | 1,3 | 75,9 | 1,5 | 86,1 | 1,7 | 100,7 | 1,9 | 115,7 | 2,2 | 125,6 | 2,4 | 138,5 | 2,7 | 157,0 | 3,0 |
| 10080 | 168 | 57,8 | 1,0 | 70,8 | 1,2 | 78,8 | 1,3 | 89,3 | 1,5 | 104,4 | 1,7 | 120,1 | 2,0 | 130,3 | 2,2 | 143,7 | 2,4 | 162,9 | 2,7 |

Starkniederschlagshöhen und -spenden gemäß KOSTRA-DWD-2020

Rasterfeld 181168

(Zeile 181, Spalte 168)

Örtliche Unsicherheiten in Abhängigkeit von Wiederkehrzeit T und Dauerstufe D

| Dauerstufe D | | Wiederkehrzeit T | | | | | | | | |
|--------------|-----|------------------|-----|-----|-----|------|------|------|------|-------|
| | | 1 a | 2 a | 3 a | 5 a | 10 a | 20 a | 30 a | 50 a | 100 a |
| min | Std | ± % | ± % | ± % | ± % | ± % | ± % | ± % | ± % | ± % |
| 5 | | 12 | 13 | 13 | 13 | 14 | 14 | 14 | 15 | 15 |
| 10 | | 15 | 16 | 17 | 17 | 18 | 19 | 19 | 20 | 20 |
| 15 | | 17 | 18 | 19 | 20 | 21 | 21 | 22 | 22 | 23 |
| 20 | | 18 | 20 | 21 | 21 | 22 | 23 | 23 | 24 | 24 |
| 30 | | 20 | 21 | 22 | 23 | 24 | 24 | 25 | 25 | 26 |
| 45 | | 20 | 22 | 22 | 23 | 24 | 25 | 25 | 26 | 26 |
| 60 | 1 | 20 | 22 | 23 | 23 | 24 | 25 | 25 | 26 | 26 |
| 90 | 1,5 | 20 | 21 | 22 | 23 | 24 | 25 | 25 | 26 | 26 |
| 120 | 2 | 19 | 21 | 22 | 22 | 23 | 24 | 25 | 25 | 26 |
| 180 | 3 | 18 | 20 | 21 | 22 | 23 | 23 | 24 | 24 | 25 |
| 240 | 4 | 18 | 19 | 20 | 21 | 22 | 23 | 23 | 23 | 24 |
| 360 | 6 | 17 | 18 | 19 | 20 | 21 | 22 | 22 | 22 | 23 |
| 540 | 9 | 16 | 18 | 18 | 19 | 20 | 21 | 21 | 21 | 22 |
| 720 | 12 | 16 | 17 | 18 | 18 | 19 | 20 | 20 | 21 | 21 |
| 1080 | 18 | 15 | 16 | 17 | 18 | 18 | 19 | 19 | 20 | 20 |
| 1440 | 24 | 15 | 16 | 17 | 17 | 18 | 19 | 19 | 19 | 20 |
| 2880 | 48 | 15 | 16 | 16 | 17 | 17 | 18 | 18 | 18 | 19 |
| 4320 | 72 | 15 | 16 | 16 | 17 | 17 | 18 | 18 | 18 | 18 |
| 5760 | 96 | 16 | 16 | 16 | 17 | 17 | 18 | 18 | 18 | 18 |
| 7200 | 120 | 16 | 17 | 17 | 17 | 17 | 18 | 18 | 18 | 18 |
| 8640 | 144 | 17 | 17 | 17 | 17 | 18 | 18 | 18 | 18 | 19 |
| 10080 | 168 | 17 | 17 | 17 | 17 | 18 | 18 | 18 | 18 | 19 |

Parameter für abweichende T und D

Lokationsparameter ξ (Xi)

17,0367812

Skalenparameter α (Alpha)

5,29189997

Formparameter κ (Kappa)

-0,1

1. Koutsoyiannis-Parameter θ (Theta)

0,0317028

2. Koutsoyiannis-Parameter η (Eta)

0,76128647

Parameter für dauerstufenübergreifende Extremwertschätzung nach KOUTSOYIANNIS et al. 1998.

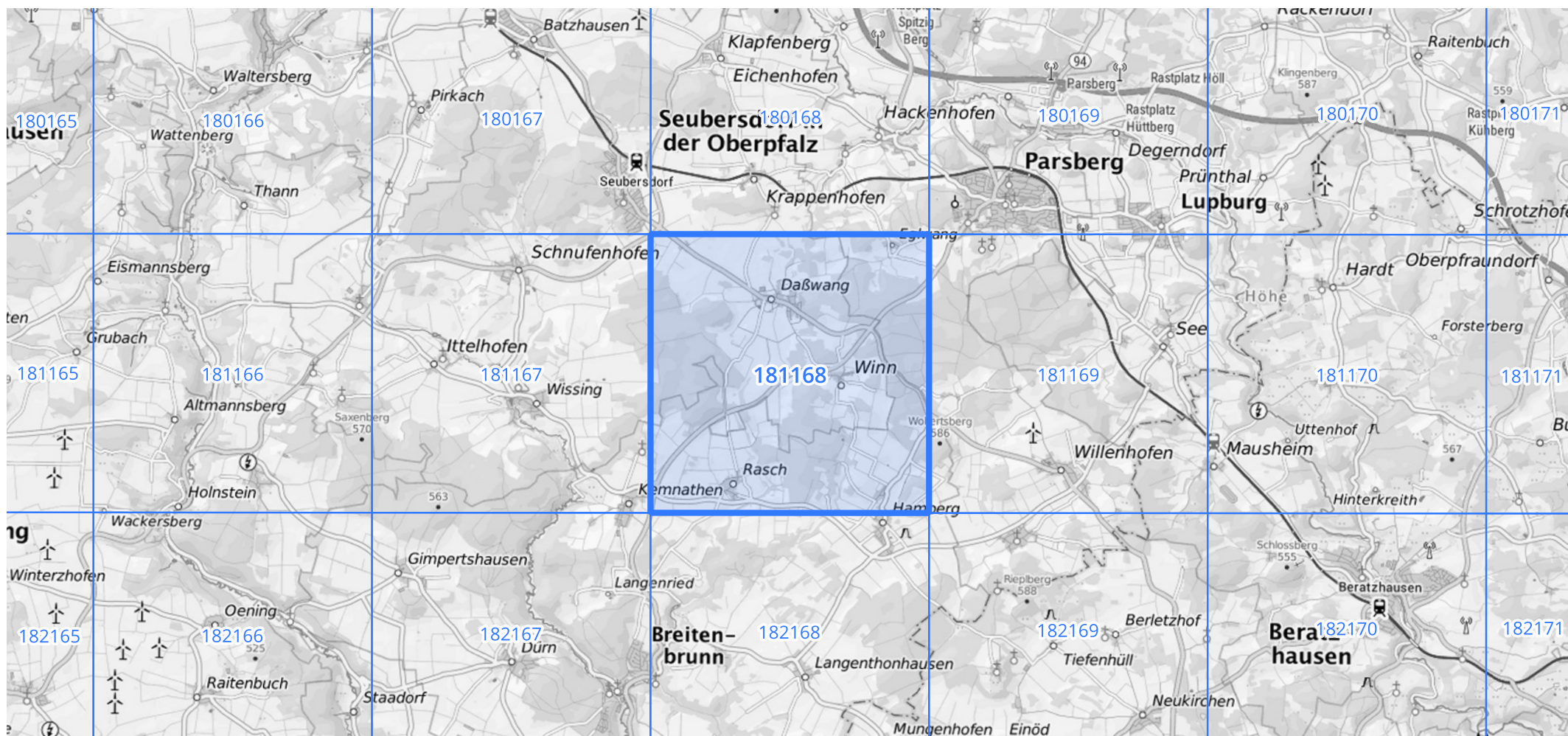
Siehe auch Anwendungshilfe zu KOSTRA-DWD-2020 des Deutschen Wetterdienstes.

Starkniederschlagshöhen und -spenden gemäß KOSTRA-DWD-2020

Rasterfeld 181168

(Zeile 181, Spalte 168)

Übersichtskarte des Rasterfeldes 181168, M 1 : 100 000



Quelle Rasterdaten: KOSTRA-DWD-2020 des Deutschen Wetterdienstes, Stand 12/2022.

Seite 3 von 3

Kartendarstellung: © Bundesamt für Kartographie und Geodäsie (2023), Datenquellen: https://sgx.geodatenzentrum.de/web_public/gdz/datenquellen/Datenquellen_TopPlusOpen.html

Für die Richtigkeit und Aktualität der Angaben wird keine Gewähr übernommen. Erstellt 01/2023.